



段颖, 孙秀玥, 盛涛, 等. 纳米银和银离子对活性污泥系统污染物去除效率的影响[J]. 环境工程学报, 2021, 15(7): 2450-2459.

DUAN Ying, SUN Xiuyue, SHENG Tao, et al. Effects of silver nanoparticle and silver ions on pollutants removal efficiency of activated sludge system[J]. Chinese Journal of Environmental Engineering, 2021, 15(7): 2450-2459.

# 纳米银和银离子对活性污泥系统污染物去除效率的影响

段颖, 孙秀玥, 盛涛, 贾艺, 金秋池, 杨新萍\*

南京农业大学资源与环境科学学院, 南京 210095

第一作者: 段颖(1995—), 女, 硕士研究生。研究方向: 水污染控制工程。E-mail: 1041279266@qq.com

\*通信作者: 杨新萍(1972—), 女, 博士, 教授。研究方向: 水污染控制工程。E-mail: xpyang@njau.edu.cn

**摘要** 纳米银(silver nanoparticle, AgNPs)及所释放Ag<sup>+</sup>的毒性会对污水生物处理系统中的微生物造成影响, 降低系统对污染物的去除效率。基于此, 对表面包被聚乙烯吡咯烷酮的AgNPs在纯水和人工污水中的形貌、粒径分布、表面电位等进行了表征, 以序批式反应器(sequencing batch reactor, SBR)模拟活性污泥污水处理系统, 在进水中分别添加1 mg·L<sup>-1</sup>、10 mg·L<sup>-1</sup> AgNPs和0.3 mg·L<sup>-1</sup>、3.0 mg·L<sup>-1</sup> Ag<sup>+</sup>后, SBR连续运行50 d, 考察了活性污泥系统污染物去除率的动态变化。结果表明: AgNPs在人工污水中易团聚, AgNPs浓度越高, 团聚现象越明显; 进水中添加10 mg·L<sup>-1</sup> AgNPs可显著降低SBR对COD、NH<sub>4</sub><sup>+</sup>-N及PO<sub>4</sub><sup>3-</sup>的去除率, 其抑制效应主要来自于AgNPs本身而不是其释放的Ag<sup>+</sup>; 添加1 mg·L<sup>-1</sup> AgNPs和0.3 mg·L<sup>-1</sup>、3.0 mg·L<sup>-1</sup> Ag<sup>+</sup>对活性污泥系统去除COD有抑制效应, 但COD去除率仍高于60%, 可以满足城镇污水处理厂污染物排放一级A标准(GB 18918-2002); 添加1 mg·L<sup>-1</sup> AgNPs可显著抑制活性污泥系统对PO<sub>4</sub><sup>3-</sup>的去除; 进水中分别添加1 mg·L<sup>-1</sup>、10 mg·L<sup>-1</sup> AgNPs和0.3 mg·L<sup>-1</sup>、3.0 mg·L<sup>-1</sup> Ag<sup>+</sup>对SBR出水中NO<sub>2</sub><sup>-</sup>-N和NO<sub>3</sub><sup>-</sup>-N去除率没有影响。鉴于目前进入城镇污水处理系统中AgNPs的浓度远低于1 mg·L<sup>-1</sup>, 故AgNPs对活性污泥污水处理系统中污染物的去除没有显著抑制效应。

**关键词** 纳米银; 银离子; 活性污泥; 序批式反应器; 污染物去除

纳米银具有独特的抗菌性能, 广泛应用于家用电器<sup>[1]</sup>、纺织品<sup>[2]</sup>、食品容器、医疗用品、化妆品等领域<sup>[3]</sup>, AgNPs已经成为全球应用最多的纳米材料之一。AgNPs产品在生产、运输和使用过程中不可避免地直接或间接释放到环境中<sup>[4]</sup>, 最终进入污水处理厂<sup>[5]</sup>。有研究结果<sup>[6-7]</sup>表明, 纳米颗粒进入水体后, 粒子本身性质(粒径、形状、溶解性、表面电位和包被材料等)、存在状态(离子态和络合态)和环境因素(pH、溶液离子强度、有机物等)均会显著影响其在水体中的行为。贾俊彩等<sup>[8]</sup>发现, AgNPs粒径越小, 对斑马鱼的毒性越强, 易导致斑马鱼胚胎发生多种畸形。BURCHARDT等<sup>[9]</sup>发现, AgNPs及其溶解释放的Ag<sup>+</sup>对藻类具有毒性效应。AgNPs的粒径、Ag<sup>+</sup>溶出强度、表面电位等理化性质均会直接影响其在水体中的反应活性及生物毒性<sup>[10-12]</sup>。

活性污泥工艺具有流程简洁、操作简易、运行效果稳定等优点, 主要利用活性污泥(微生物聚

收稿日期: 2021-02-09; 录用日期: 2021-04-22

基金项目: 国家自然科学基金资助项目(31870489)

集体)对水中各种污染物进行吸收、转化和降解<sup>[13]</sup>。有研究结果表明, AgNPs 可导致活性污泥中硝化细菌丰度显著减少, 降低活性污泥系统的出水水质, 从而影响受纳水体的氮循环<sup>[14]</sup>。也有研究结果<sup>[15]</sup>表明, 进入活性污泥污水处理系统中的 AgNPs 溶解释放出的  $\text{Ag}^+$  抑制了系统中微生物活性, 从而降低活性污泥系统对污染物的去除效率。关于 AgNPs 影响活性污泥污水处理系统污染物去除效率的原因是其自身还是其释放  $\text{Ag}^+$  所至, 仍有争议。LIANG 等<sup>[16]</sup> 分别测定了  $1 \text{ mg}\cdot\text{L}^{-1}$  AgNPs 和  $1 \text{ mg}\cdot\text{L}^{-1}$   $\text{Ag}^+$  对 SBR 中活性污泥硝化性能的影响, 认为 AgNPs 对活性污泥微生物硝化反应的抑制作用来自其本身。WIRTH 等<sup>[17]</sup>发现, AgNPs 对 *Pseudomonas fluorescens* 细胞膜的毒性大于 AgNPs 释放出的  $\text{Ag}^+$  毒性。而 RADNIECKI 等<sup>[18]</sup>的研究结果表明, AgNPs 释放出的  $\text{Ag}^+$  是对活性污泥中 *Nitrosomonas europaea* 产生硝化抑制的主要原因。HOQUE 等<sup>[19]</sup>的研究结果表明, 污水中 AgNPs 质量浓度为  $0.1\sim0.2 \mu\text{g}\cdot\text{L}^{-1}$ , 随着包含 AgNPs 的材料广泛应用, AgNPs 在污水中的浓度有可能继续升高。

本研究采用序批式反应器 (sequencing batch reactor, SBR) 模拟活性污泥污水处理系统, 在进水中分别添加  $1 \text{ mg}\cdot\text{L}^{-1}$ 、 $10 \text{ mg}\cdot\text{L}^{-1}$  AgNPs 以及相同质量浓度的 AgNPs 可在水中分别溶解释放出的  $\text{Ag}^+$ , 在连续运行 50 d 后, 测定 SBR 出水的各项水质指标, 以期为全面评价 AgNPs 及其释放的  $\text{Ag}^+$  对污水生物处理系统的生态风险提供参考。

## 1 材料与方法

### 1.1 实验用水与接种污泥

实验用水为人工模拟中等强度的城市污水, 主要组成成分为  $30 \text{ mg}\cdot\text{L}^{-1} \text{C}_6\text{H}_{12}\text{O}_6$ 、 $400 \text{ mg}\cdot\text{L}^{-1} \text{CH}_3\text{COONa}$ 、 $150 \text{ mg}\cdot\text{L}^{-1} \text{NH}_4\text{Cl}$ 、 $45 \text{ mg}\cdot\text{L}^{-1} \text{KH}_2\text{PO}_4$ 、 $20 \text{ mg}\cdot\text{L}^{-1} \text{MgSO}_4\cdot7\text{H}_2\text{O}$ 、 $1 \text{ mL}\cdot\text{L}^{-1}$  微量元素溶液。微量元素溶液组成为  $150 \text{ mg}\cdot\text{L}^{-1} \text{H}_3\text{BO}_3$ 、 $150 \text{ mg}\cdot\text{L}^{-1} \text{CoCl}_2\cdot6\text{H}_2\text{O}$ 、 $30 \text{ mg}\cdot\text{L}^{-1} \text{CuSO}_4\cdot5\text{H}_2\text{O}$ 、 $150 \text{ mg}\cdot\text{L}^{-1} \text{FeCl}_2\cdot6\text{H}_2\text{O}$ 、 $30 \text{ mg}\cdot\text{L}^{-1} \text{KI}$ 、 $120 \text{ mg}\cdot\text{L}^{-1} \text{MnCl}_2\cdot2\text{H}_2\text{O}$ 、 $60 \text{ mg}\cdot\text{L}^{-1} \text{Na}_2\text{MoO}_4\cdot2\text{H}_2\text{O}$ 、 $120 \text{ mg}\cdot\text{L}^{-1} \text{ZnSO}_4\cdot7\text{H}_2\text{O}$ 。使用  $\text{NaHCO}_3$  调节人工污水的 pH, 使其保持在 6.5~7.5。接种污泥取自南京某城市污水处理厂生化池的回流污泥。

### 1.2 实验装置的构建

SBR 有效容积为 1.6 L, 采用空气压缩机曝气, 空气流速为  $2.0 \text{ L}\cdot\text{min}^{-1}$ 。实验期间 SBR 每日运行 2 个周期, 每周期 5 h, 包括进水 15 min、静置 90 min、曝气 90 min、静置 90 min、排水 15 min。接种污泥与人工污水体积比为 1:2, 运行 14 d 后, 各反应器污泥混合液悬浮固体 (mixed liquor suspended solids, MLSS) 质量浓度为  $(4430\pm148) \text{ mg}\cdot\text{L}^{-1}$ , 污泥容积指数 (settling velocity index, SVI) 达到  $(83\pm4) \text{ mL}\cdot\text{g}^{-1}$ , SBR 运行稳定, 在进水中分别加入不同质量浓度 AgNPs 和  $\text{Ag}^+$ , 这个时间点记为实验开始, 即第 1 天。将进水中 AgNPs 质量浓度分别设置为  $1 \text{ mg}\cdot\text{L}^{-1}$  和  $10 \text{ mg}\cdot\text{L}^{-1}$ 。根据孙秀玥<sup>[20]</sup>超滤法测得 AgNPs 在纯水中释放出的  $\text{Ag}^+$  为 AgNPs 质量浓度的 30%, 人工污水配制时采用纯水 ( $15 \text{ M}\Omega\cdot\text{cm}$ )。当进水中添加的 AgNPs 质量浓度分别为  $1 \text{ mg}\cdot\text{L}^{-1}$  和  $10 \text{ mg}\cdot\text{L}^{-1}$  时, 添加的  $\text{Ag}^+$  质量浓度分别为  $0.3 \text{ mg}\cdot\text{L}^{-1}$  和  $3.0 \text{ mg}\cdot\text{L}^{-1}$ ,  $\text{Ag}^+$  质量浓度分别对应  $1 \text{ mg}\cdot\text{L}^{-1}$  和  $10 \text{ mg}\cdot\text{L}^{-1}$  AgNPs 在纯水中的  $\text{Ag}^+$  释放量。SBR 分为 5 组, 每组 SBR 设置 3 个重复, 以进水中不添加 AgNPs、也不添加  $\text{Ag}^+$  的 SBR 组作为对照组 (CK), 5 组实验平行同步进行。 $\text{Ag}^+$  以  $\text{AgNO}_3$  配制, 运行期间水温为 20~30 °C, 运行周期内换水率为 50%。

### 1.3 AgNPs 在污水中的物理性状表征

AgNPs 购自北京德科岛金科技有限公司, 平均粒径 10~12 nm, 表面包裹物为聚乙烯吡咯烷酮。将 AgNPs 分别分散于纯水和人工污水, 表观质量浓度均为  $2 \text{ mg}\cdot\text{L}^{-1}$ , 经超声仪 (KQ-700DE, 昆山市超声仪器公司) 在 100 W、40 kHz 条件下超声 5 min, 采用紫外-可见光分光光度计 (UV-1800, Shimadzu, Japan) 光谱扫描模式对其进行扫描。将分别分散于纯水中的  $1 \text{ mg}\cdot\text{L}^{-1}$  和  $10 \text{ mg}\cdot\text{L}^{-1}$  AgNPs, 在 100 W、40 kHz 条件下超声 30 min 后, 采用纳米粒度电位仪 (Zs90, Malvern Zetasizer Nano,

UK) 测定 AgNPs 在纯水和人工污水中的粒径分布及 Zeta 电位。采用透射电子显微镜 (H-7650, HITACHI, Japan) 观察分散于纯水和人工污水的 AgNPs 颗粒的形态。

#### 1.4 指标及测定方法

溶解氧 (dissolved oxygen, DO) 采用便携式溶解氧仪 (JPB-607A, 上海雷磁) 测定; pH 采用 pH 测定仪 (PB-10, 赛多利斯科学仪器 (北京) 有限公司) 测定; 化学需氧量 (chemical oxygen demand, COD) 采用 HACH COD 快速测定仪 (DR1010, HACH, USA) 测定;  $\text{NH}_4^+$ -N、 $\text{NO}_2^-$ -N、 $\text{NO}_3^-$ -N、 $\text{PO}_4^{3-}$  采用离子色谱仪 (ICS-600, 赛默飞世尔 (上海) 仪器有限公司) 测定。

#### 1.5 数据统计与分析

采用 Microsoft Excel 2016 对实验数据进行统计分析, 结果用平均值±标准误差 (Mean±SE) 表示, 用 SPSS Statistics 25 软件中单因素方差分析并检验显著性,  $P<0.05$  代表数据之间有显著性差异; 采用 Origin8.1 软件绘图。

### 2 结果与讨论

#### 2.1 AgNPs 物理性状的表征

1) AgNPs 的紫外-可见吸收光谱表征。由于量子尺寸效应, 纳米粒子具有独特的非线性光学效应, 粒子的尺寸和形状决定着这种非线性光学效应。有研究者发现, AgNPs 在 390~450 nm 处存在由表面等离子体共振引起的特征吸收峰<sup>[21-22]</sup>。利用紫外-可见分光光度计对 AgNPs 溶液进行检测, 结果见图 1。采用纯水和人工污水稀释的 AgNPs 溶液吸收峰均出现在 410 nm 处, 这与文献报道中 AgNPs 特征吸收峰的位置相同<sup>[21-22]</sup>。

2) AgNPs 在纯水和人工污水中的水动力学粒径和 Zeta 电位。采用动态光散射技术测定 AgNPs 在纯水和人工污水中的粒径分布及 Zeta 电位, 结果见表 1。当 AgNPs 质量浓度为  $1 \text{ mg}\cdot\text{L}^{-1}$  时, 纯水中 AgNPs 平均粒径均为  $(48.88\pm13.34)$  nm, 人工污水中有 43.70% 的 AgNPs 平均粒径为  $(170.23\pm36.03)$  nm; 当 AgNPs 质量浓度为  $10 \text{ mg}\cdot\text{L}^{-1}$  时, 纯水中 AgNPs 平均粒径为  $(52.25\pm6.67)$  nm, 人工污水中有 18.18% 的 AgNPs 平均粒径为  $(309.30\pm25.28)$  nm。由此可见, AgNPs 在人工污水中更易发生团聚, 团聚体粒径更大。吴其圣等<sup>[23]</sup>发现, 水中离子强度的增加会促进纳米颗粒的聚集。MUKHERJEE 等<sup>[24]</sup>的研究结果也表明, 二价阳离子如  $\text{Ca}^{2+}$  可显著诱导纳米  $\text{TiO}_2$ 、AgNPs 等纳米颗粒的团聚。实验采用的人工污水中含有丰富的  $\text{Mg}^{2+}$  和  $\text{Na}^+$ , 这些离子可能是造成 AgNPs 团聚的主要原因。表 1 表明, 在同种分散介质中, AgNPs 质量浓度越高, AgNPs 颗粒的水动力学粒径越大。这与其他研究的结果类似, 即随着纳米材料浓度增加, 纳米颗粒团聚体尺寸也随之增加<sup>[25-26]</sup>。如表 1 所示, 同一分散介质稀释的 AgNPs 的 Zeta

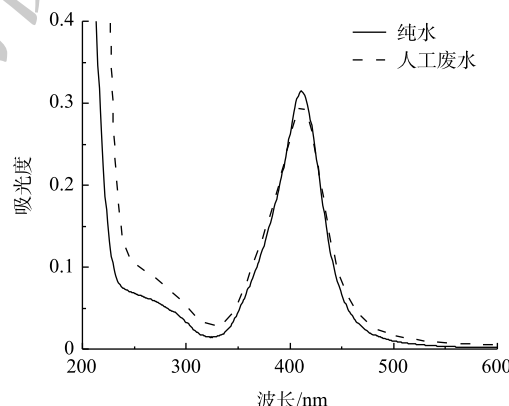


图 1 AgNPs 在纯水、人工废水中的紫外-可见吸收光谱

Fig. 1 UV-Vis spectra of AgNPs in pure water and artificial wastewater

表 1 AgNPs 在纯水和人工污水中的平均粒径及 Zeta 电位

Table 1 Average size and Zeta potential of AgNPs in pure water and artificial wastewater

样品	质量浓度/( $\text{mg}\cdot\text{L}^{-1}$ )	平均粒径/nm	Zeta电位/mV
纯水	1	$48.88\pm13.34$	$-8.73\pm0.70$
纯水	10	$52.25\pm6.67$	$-8.24\pm0.74$
人工污水	1	$96.26\pm18.23$	$-11.16\pm0.48$
人工污水	10	$96.52\pm5.41$	$-10.26\pm0.62$

电位无统计学上的显著差异，但不同分散介质稀释的 AgNPs 间的 Zeta 电位差异显著。

3) AgNPs 的透射电镜表征。利用透射电子显微镜观察 AgNPs 在纯水和人工污水中的形态。如图 2(a) 和图 2(b) 所示, 1 mg·L<sup>-1</sup> 和 10 mg·L<sup>-1</sup> AgNPs 在纯水中均以分散的颗粒形式存在, 未出现较大团聚体。如图 2(c) 所示, 1 mg·L<sup>-1</sup> AgNPs 在人工污水中大部分仍以分散颗粒形式存在; 由图 2(d) 可见, 10 mg·L<sup>-1</sup> AgNPs 在人工污水中以小块团聚体形式存在, 且团聚体粒径部分大于 300 nm。有研究结果<sup>[27]</sup>表明, 纳米颗粒尺寸小, 比表面积大, 其溶液为不稳定体系, 加之颗粒间范德华力的作用, 颗粒之间容易聚集出现团聚现象。

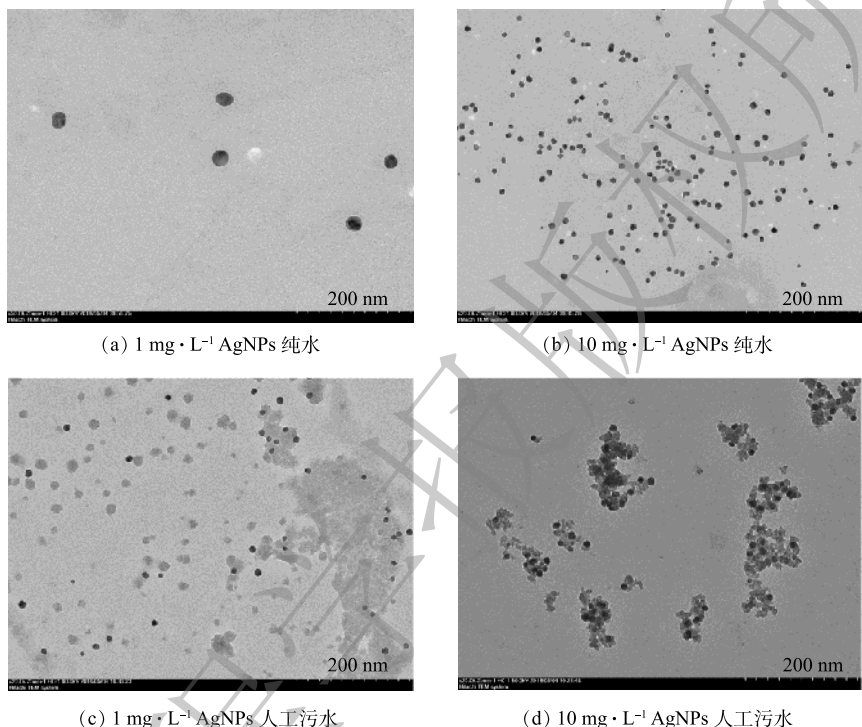


图 2 AgNPs 在纯水和人工污水中的透射电镜图

Fig. 2 TEM images of AgNPs in pure water and artificial wastewater

## 2.2 SBR 出水 DO 和 pH 变化

SBR 在 50 d 的连续运行期间, 进水中分别添加 1 mg·L<sup>-1</sup>、10 mg·L<sup>-1</sup> AgNPs 和 0.3 mg·L<sup>-1</sup>、3.0 mg·L<sup>-1</sup> Ag<sup>+</sup> 对 SBR 出水 DO 和 pH 的影响结果如图 3 所示。在 SBR 50 d 的运行期内, 10 mg·L<sup>-1</sup> AgNPs 处理

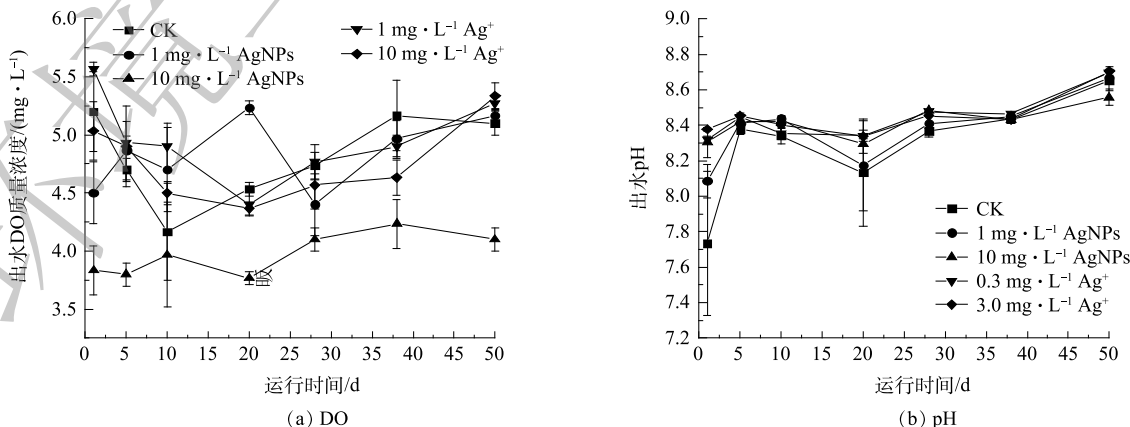


图 3 AgNPs 及 Ag<sup>+</sup> 对 SBR 出水 DO 和 pH 的持续影响 (0~50 d)

Fig. 3 DO and pH evolution of activated sludge mixed liquor as a function of AgNPs and Ag<sup>+</sup> concentration(0~50 d)

下的SBR出水DO均低于其他处理，但高于 $3.0\text{ mg}\cdot\text{L}^{-1}$ 的处理。SBR出水pH在50 d的运行期间均稳定在7.73~8.71，这表明 $1\text{ mg}\cdot\text{L}^{-1}$ 、 $10\text{ mg}\cdot\text{L}^{-1}$ AgNPs和 $0.3\text{ mg}\cdot\text{L}^{-1}$ 、 $3.0\text{ mg}\cdot\text{L}^{-1}$ Ag<sup>+</sup>对活性污泥系统出水pH没有显著影响( $P>0.05$ )。在整个运行期间，SBR出水DO、pH均符合城镇污水处理厂污染物排放标准(GB 18918-2002)。

### 2.3 AgNPs及Ag<sup>+</sup>对活性污泥系统去除COD的影响

活性污泥系统的进水COD保持在 $(335.0\pm1.0)\text{ mg}\cdot\text{L}^{-1}$ ，进水中分别添加 $1\text{ mg}\cdot\text{L}^{-1}$ 、 $10\text{ mg}\cdot\text{L}^{-1}$ AgNPs和 $0.3\text{ mg}\cdot\text{L}^{-1}$ 、 $3.0\text{ mg}\cdot\text{L}^{-1}$ Ag<sup>+</sup>处理后，SBR出水COD变化如图4所示。在50 d的运行期内，与CK相比，进水中分别添加 $1\text{ mg}\cdot\text{L}^{-1}$ 、 $10\text{ mg}\cdot\text{L}^{-1}$ AgNPs和 $0.3\text{ mg}\cdot\text{L}^{-1}$ 、 $3.0\text{ mg}\cdot\text{L}^{-1}$ Ag<sup>+</sup>对活性污泥去除COD的性能均有显著抑制效应( $P<0.05$ )。进水中分别添加 $1\text{ mg}\cdot\text{L}^{-1}$ AgNPs、 $0.3\text{ mg}\cdot\text{L}^{-1}$ Ag<sup>+</sup>时，SBR出水COD无显著性差异，但进水中添加 $10\text{ mg}\cdot\text{L}^{-1}$ AgNPs时，出水COD显著高于进水中添加 $3.0\text{ mg}\cdot\text{L}^{-1}$ Ag<sup>+</sup>的反应器。这说明进水中添加低质量浓度( $1\text{ mg}\cdot\text{L}^{-1}$ )AgNPs，对活性污泥去除COD的抑制可能在于其释放的Ag<sup>+</sup>。JEMEC等<sup>[28]</sup>采用超滤法和超速离心法分别测量了分散在纯水中AgNPs贮备液(标准质量浓度为 $40\text{ g}\cdot\text{L}^{-1}$ )释放Ag<sup>+</sup>，分别为AgNPs浓度的68%和46%，并进行斑马鱼、微藻、海洋甲壳类动物等毒性实验，发现AgNPs毒性来源于释放的Ag<sup>+</sup>而不是AgNPs自身。ALITO等<sup>[29]</sup>发现在SBR中分别加入 $0.2\text{ mg}\cdot\text{L}^{-1}$ AgNPs和 $0.2\text{ mg}\cdot\text{L}^{-1}$ Ag<sup>+</sup>后，COD去除率由99%分别下降至71%和90%，但3 d后COD去除率均恢复至起初的92%。李墨青<sup>[30]</sup>的研究结果表明，较高质量浓度AgNPs( $10\text{ mg}\cdot\text{L}^{-1}$ )对SBR的COD去除率可稳定降低至70%。如图4所示，本实验进水中添加 $10\text{ mg}\cdot\text{L}^{-1}$ AgNPs时，SBR中出水COD显著高于进水中添加 $3.0\text{ mg}\cdot\text{L}^{-1}$ Ag<sup>+</sup>的反应器出水，表明 $10\text{ mg}\cdot\text{L}^{-1}$ AgNPs对活性污泥去除COD的抑制不仅来自于其溶解释放的Ag<sup>+</sup>，更主要来自AgNPs自身。

### 2.4 AgNPs及Ag<sup>+</sup>对活性污泥去除NH<sub>4</sub><sup>+</sup>-N的影响

SBR活性污泥系统的进水NH<sub>4</sub><sup>+</sup>-N为 $(42.69\pm1.85)\text{ mg}\cdot\text{L}^{-1}$ ，进水中分别添加 $1\text{ mg}\cdot\text{L}^{-1}$ 、 $10\text{ mg}\cdot\text{L}^{-1}$ AgNPs和 $0.3\text{ mg}\cdot\text{L}^{-1}$ 、 $3.0\text{ mg}\cdot\text{L}^{-1}$ Ag<sup>+</sup>，出水NH<sub>4</sub><sup>+</sup>-N质量浓度变化如图5所示。CK、 $0.3\text{ mg}\cdot\text{L}^{-1}$ 和 $3.0\text{ mg}\cdot\text{L}^{-1}$ Ag<sup>+</sup>处理下，SBR出水中的NH<sub>4</sub><sup>+</sup>-N质量浓度在50 d的运行期间内无显著变化，出水NH<sub>4</sub><sup>+</sup>-N质量浓度为 $0.01\sim0.09\text{ mg}\cdot\text{L}^{-1}$ 。 $1\text{ mg}\cdot\text{L}^{-1}$ AgNPs处理下的SBR出水NH<sub>4</sub><sup>+</sup>-N质量浓度逐渐降低，运行20 d后， $1\text{ mg}\cdot\text{L}^{-1}$ AgNPs处理的SBR出水NH<sub>4</sub><sup>+</sup>-N质量浓度与CK相比无显著差别( $P>0.05$ )。上述结果表明，进水中添加 $1\text{ mg}\cdot\text{L}^{-1}$ AgNPs和 $0.3\text{ mg}\cdot\text{L}^{-1}$ 、 $3.0\text{ mg}\cdot\text{L}^{-1}$ Ag<sup>+</sup>的SBR对NH<sub>4</sub><sup>+</sup>-N去除率无显著影响( $P>0.05$ )。ALITO等<sup>[29]</sup>发现，SBR进水中分别添加 $0.2\text{ mg}\cdot\text{L}^{-1}$ Ag<sup>+</sup>和 $0.2\text{ mg}\cdot\text{L}^{-1}$ AgNPs，初始运行时对NH<sub>4</sub><sup>+</sup>-N去除率

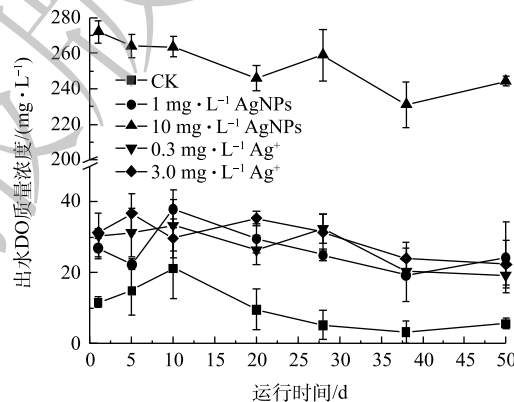


图4 AgNPs及Ag<sup>+</sup>对出水COD的持续影响(0~50 d)

Fig. 4 COD evolution of effluent as a function of AgNPs and Ag<sup>+</sup> concentration(0~50 d)

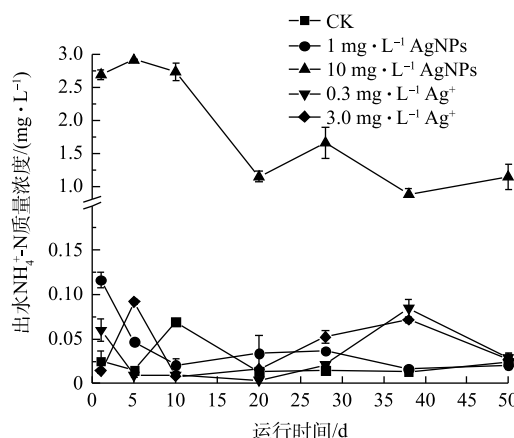


图5 AgNPs及Ag<sup>+</sup>对出水NH<sub>4</sub><sup>+</sup>-N质量浓度的持续影响(0~50 d)

Fig. 5 NH<sub>4</sub><sup>+</sup>-N evolution of effluent as a function of AgNPs and Ag<sup>+</sup> concentration(0~50 d)

有抑制效应, 但3 d后便得到恢复。与进水中分别添加 $1 \text{ mg} \cdot \text{L}^{-1}$  AgNPs 和 $0.3 \text{ mg} \cdot \text{L}^{-1}$ 、 $3.0 \text{ mg} \cdot \text{L}^{-1}$   $\text{Ag}^+$ 的SBR相比, 进水中添加 $10 \text{ mg} \cdot \text{L}^{-1}$  AgNPs 明显抑制了SBR对 $\text{NH}_4^+$ -N的去除。在50 d的运行期, 进水中添加 $10 \text{ mg} \cdot \text{L}^{-1}$  AgNPs 的SBR出水 $\text{NH}_4^+$ -N质量浓度显著高于CK及 $1 \text{ mg} \cdot \text{L}^{-1}$  AgNPs 和 $0.3 \text{ mg} \cdot \text{L}^{-1}$ 、 $3.0 \text{ mg} \cdot \text{L}^{-1}$   $\text{Ag}^+$ 处理的SBR,  $10 \text{ mg} \cdot \text{L}^{-1}$  AgNPs 对活性污泥去除 $\text{NH}_4^+$ -N的抑制效应主要源于AgNPs自身毒性, 这与JEONG等<sup>[31]</sup>的研究结果一致。

## 2.5 AgNPs 及 $\text{Ag}^+$ 对活性污泥去除 $\text{NO}_2^-$ -N 和 $\text{NO}_3^-$ -N 效果的影响

SBR系统进水 $\text{NO}_2^-$ -N 和  $\text{NO}_3^-$ -N的质量浓度分别为 $(1.13 \pm 0.03) \text{ mg} \cdot \text{L}^{-1}$  和 $(10.57 \pm 0.13) \text{ mg} \cdot \text{L}^{-1}$ , 在进水中分别添加 $1 \text{ mg} \cdot \text{L}^{-1}$ 、 $10 \text{ mg} \cdot \text{L}^{-1}$  AgNPs 和 $0.3 \text{ mg} \cdot \text{L}^{-1}$ 、 $3.0 \text{ mg} \cdot \text{L}^{-1}$   $\text{Ag}^+$ 后, SBR出水 $\text{NO}_2^-$ -N、 $\text{NO}_3^-$ -N质量浓度变化如图6所示。由图6(a)可知,  $1 \text{ mg} \cdot \text{L}^{-1}$ 、 $10 \text{ mg} \cdot \text{L}^{-1}$  AgNPs 和 $0.3 \text{ mg} \cdot \text{L}^{-1}$ 、 $3.0 \text{ mg} \cdot \text{L}^{-1}$   $\text{Ag}^+$ 对SBR出水 $\text{NO}_2^-$ -N质量浓度均无显著影响( $P > 0.05$ ), 出水 $\text{NO}_2^-$ -N质量浓度低于 $0.1 \text{ mg} \cdot \text{L}^{-1}$ 。由图6(b)可知, 在 $1 \text{ mg} \cdot \text{L}^{-1}$ 、 $10 \text{ mg} \cdot \text{L}^{-1}$  AgNPs 和 $0.3 \text{ mg} \cdot \text{L}^{-1}$ 、 $3.0 \text{ mg} \cdot \text{L}^{-1}$   $\text{Ag}^+$ 处理下, 运行15 d后, 各SBR出水 $\text{NO}_3^-$ -N浓度无显著差异( $P < 0.05$ ), 第50天出水 $\text{NO}_3^-$ -N质量浓度为 $0.65 \sim 0.85 \text{ mg} \cdot \text{L}^{-1}$ 。上述结果表明,  $1 \text{ mg} \cdot \text{L}^{-1}$ 、 $10 \text{ mg} \cdot \text{L}^{-1}$  AgNPs 和 $0.3 \text{ mg} \cdot \text{L}^{-1}$ 、 $3.0 \text{ mg} \cdot \text{L}^{-1}$   $\text{Ag}^+$ 对活性污泥微生物反硝化过程影响较小, 这与YANG等<sup>[14]</sup>和张汝嘉<sup>[32]</sup>报道的研究结果类似。

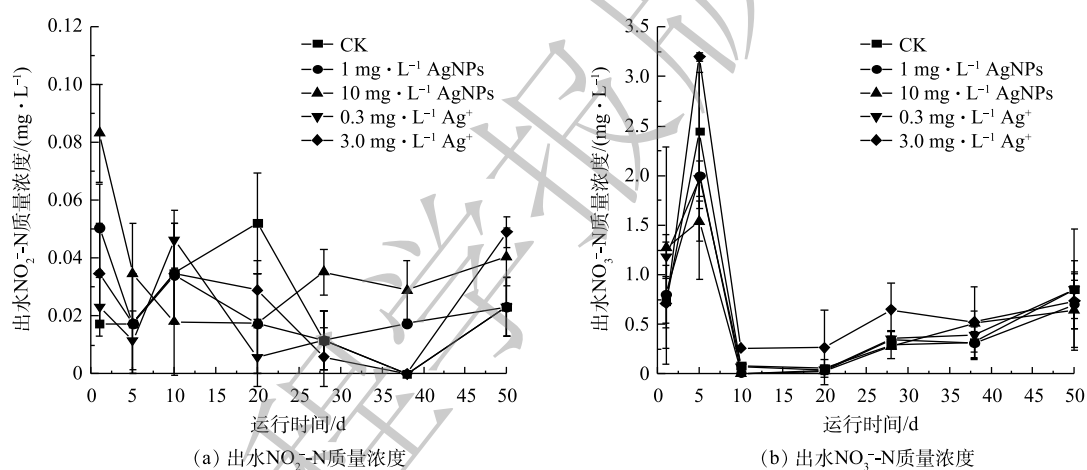


图6 AgNPs 及  $\text{Ag}^+$ 对出水 $\text{NO}_2^-$ -N 和  $\text{NO}_3^-$ -N 的持续影响(0~50 d)

Fig. 6  $\text{NO}_2^-$ -N and  $\text{NO}_3^-$ -N evolution of effluent as a function of AgNPs and  $\text{Ag}^+$  concentration(0~50 d)

## 2.6 AgNPs 及 $\text{Ag}^+$ 对活性污泥去除 $\text{PO}_4^{3-}$ 的影响

SBR系统进水 $\text{PO}_4^{3-}$ 为 $(10.64 \pm 0.63) \text{ mg} \cdot \text{L}^{-1}$ , 进水中分别添加 $1 \text{ mg} \cdot \text{L}^{-1}$ 、 $10 \text{ mg} \cdot \text{L}^{-1}$  AgNPs 和 $0.3 \text{ mg} \cdot \text{L}^{-1}$ 、 $3.0 \text{ mg} \cdot \text{L}^{-1}$   $\text{Ag}^+$ 的SBR出水中 $\text{PO}_4^{3-}$ 质量浓度变化如图7所示。运行至第10天后, 进水中添加 $10 \text{ mg} \cdot \text{L}^{-1}$  AgNPs 的SBR出水中 $\text{PO}_4^{3-}$ 质量浓度显著高于其他处理( $P < 0.05$ ), 运行至第38天后, 进水中添加 $1 \text{ mg} \cdot \text{L}^{-1}$  AgNPs 的SBR出水中 $\text{PO}_4^{3-}$ 质量浓度显著高于对照( $P < 0.05$ ), 这可能是连续运行中, AgNPs影响聚磷菌好氧吸磷能力, 最终导致除磷效果减弱<sup>[33]</sup>。进水中AgNPs质量浓度越高, 出水 $\text{PO}_4^{3-}$ 质量浓度越高, 这与苑志华等<sup>[33]</sup>的研究结果一致。在SBR 50 d的运行期间, 进水中分别添加 $0.3 \text{ mg} \cdot \text{L}^{-1}$ 、 $3.0 \text{ mg} \cdot \text{L}^{-1}$   $\text{Ag}^+$ 的SBR出水中 $\text{PO}_4^{3-}$ 质量浓度与对照相比均无显著性差异( $P > 0.05$ )。 $1 \text{ mg} \cdot \text{L}^{-1}$  AgNPs、 $10 \text{ mg} \cdot \text{L}^{-1}$  AgNPs对活性污泥去除 $\text{PO}_4^{3-}$ 的抑制程度均高于其释放出的 $\text{Ag}^+$ 单独作用于活性污泥时的抑制程度, 这表明AgNPs对活性污泥去除 $\text{PO}_4^{3-}$ 的抑制作用来源于AgNPs自身。

综合上述结果可知,  $1 \text{ mg} \cdot \text{L}^{-1}$  AgNPs对SBR出水中的 $\text{NH}_4^+$ -N、 $\text{NO}_2^-$ -N 和  $\text{NO}_3^-$ -N质量浓度无明显影响, 对COD和 $\text{PO}_4^{3-}$ 的去除有明显抑制效应, 但出水COD低于 $50 \text{ mg} \cdot \text{L}^{-1}$ , 符合城镇污水处理厂污染物排放一级A标准(GB 18918-2002), 但系统出水中 $\text{PO}_4^{3-}$ 质量浓度很难达到污染物排放的一级

A标准(GB 18918-2002)。AgNPs通过影响活性污泥中微生物群落结构和抑制微生物活性,从而降低活性污泥系统对碳、氮、磷的去除效率。李墨青<sup>[30]</sup>通过高通量测序发现,AgNPs质量浓度越高,具有脱氮除磷功效的菌群种类逐渐减少。LIANG等<sup>[16]</sup>的研究结果表明,AgNPs对污水处理系统中硝化细菌活性有抑制作用,最大抑制率为46.5%,从而导致废水中NH<sub>4</sub><sup>+</sup>-N和NO<sub>2</sub>-N质量浓度增加。AgNPs通过诱导活性氧产生细胞凋亡机制<sup>[34]</sup>,抑制了活性污泥微生物的脱氮除磷性能<sup>[35]</sup>。

AgNPs在污水或者水体中的存在形式多样,除AgNPs和Ag<sup>+</sup>外,Ag<sup>+</sup>经硫化、氯化后与S<sup>2-</sup>和Cl<sup>-</sup>结合可能生成Ag<sub>2</sub>S、AgCl沉淀或胶体AgCl<sub>x</sub><sup>(x-1)-</sup>;Ag<sup>+</sup>也可以与SO<sub>4</sub><sup>2-</sup>、CO<sub>3</sub><sup>2-</sup>结合生成Ag<sub>2</sub>SO<sub>4</sub>、Ag<sub>2</sub>CO<sub>3</sub>等物质,这些物质会影响AgNPs及Ag<sup>+</sup>对微生物的毒性。CHOI等<sup>[36]</sup>发现,AgNPs可形成Ag<sub>2</sub>S沉淀物,导致AgNPs对硝化生物的毒性降低80%;LEVARD等<sup>[37]</sup>的研究也证明,硫化物的存在会导致AgNPs释放Ag<sup>+</sup>的速率降低,对AgNPs的毒性产生较大的影响。因此,今后的研究需关注AgNPs在水中的不同赋存形态对活性污泥微生物去除污染物的影响。

JOHNSON等<sup>[38]</sup>通过检测英国9座污水处理厂的污水中总Ag质量浓度(实际测量中很难区分水中AgNPs、Ag<sup>+</sup>及其他Ag形态,均是以总Ag质量浓度表示),得出污水中总Ag的平均质量浓度为8.4×10<sup>-5</sup> mg·L<sup>-1</sup>。本课题组在南京农业大学学生宿舍区16处化粪池、污水检查井中取水样,检测结果表明污水中总Ag质量浓度为2.1×10<sup>-4</sup>~4.30×10<sup>-2</sup> mg·L<sup>-1</sup>,远低于1 mg·L<sup>-1</sup><sup>[39]</sup>。从目前国内国外报道的城镇污水中总Ag质量浓度,结合本研究与其他研究者所得的结果可以看出,城镇污水处理厂中的AgNPs并未对活性污泥去除污染物的性能产生显著的抑制效应。

### 3 结论

1) 表面被聚乙烯吡咯烷酮包被的AgNPs在污水中仍然易团聚,AgNPs质量浓度越高,其粒径越大,团聚现象越明显。

2) 进水中添加10 mg·L<sup>-1</sup> AgNPs可显著抑制活性污泥系统对COD、NH<sub>4</sub><sup>+</sup>-N及PO<sub>4</sub><sup>3-</sup>的去除,10 mg·L<sup>-1</sup> AgNPs对活性污泥系统的显著抑制效应主要源于AgNPs自身而不是其释放的Ag<sup>+</sup>;添加1 mg·L<sup>-1</sup> AgNPs和0.3 mg·L<sup>-1</sup>、3.0 mg·L<sup>-1</sup> Ag<sup>+</sup>对活性污泥系统去除COD有抑制效应,但去除率仍高于60%,可以满足城镇污水处理厂污染物排放一级A标准(GB 18918-2002);添加1 mg·L<sup>-1</sup> AgNPs可显著抑制活性污泥系统对PO<sub>4</sub><sup>3-</sup>的去除;添加1 mg·L<sup>-1</sup>、10 mg·L<sup>-1</sup> AgNPs和0.3 mg·L<sup>-1</sup>、3.0 mg·L<sup>-1</sup> Ag<sup>+</sup>对SBR出水中NO<sub>2</sub><sup>-</sup>-N和NO<sub>3</sub><sup>-</sup>-N去除率没有影响。

3) 目前污水处理系统中AgNPs质量浓度通常在ng·L<sup>-1</sup>~μg·L<sup>-1</sup>级别,远低于1 mg·L<sup>-1</sup>,低质量浓度AgNPs对活性污泥系统污水处理性能的影响有待进一步研究。

### 参考文献

- [1] FARKAS J, PETER H, CHRISTIAN P, et al. Characterization of the effluent from a nanosilver producing washing machine[J]. Environment International, 2011, 37(6): 1057-1062.

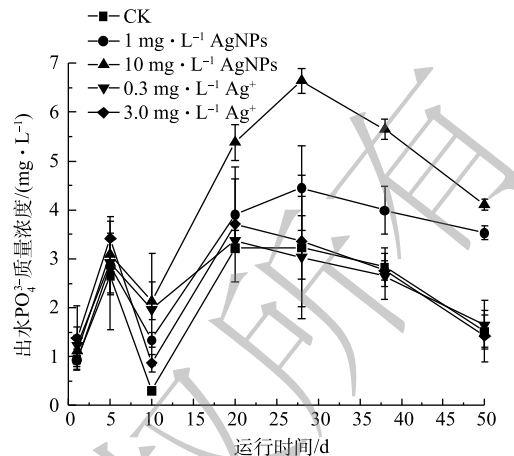


图7 AgNPs及Ag<sup>+</sup>对出水PO<sub>4</sub><sup>3-</sup>的持续影响(0~50 d)

Fig. 7 PO<sub>4</sub><sup>3-</sup> evolution of effluent as a function of AgNPs and Ag<sup>+</sup> concentration(0~50 d)

JOHNSON等<sup>[38]</sup>通过检测英国9座污水处理厂的污水中总Ag质量浓度(实际测量中很难区分水中AgNPs、Ag<sup>+</sup>及其他Ag形态,均是以总Ag质量浓度表示),得出污水中总Ag的平均质量浓度为8.4×10<sup>-5</sup> mg·L<sup>-1</sup>。本课题组在南京农业大学学生宿舍区16处化粪池、污水检查井中取水样,检测结果表明污水中总Ag质量浓度为2.1×10<sup>-4</sup>~4.30×10<sup>-2</sup> mg·L<sup>-1</sup>,远低于1 mg·L<sup>-1</sup><sup>[39]</sup>。从目前国内国外报道的城镇污水中总Ag质量浓度,结合本研究与其他研究者所得的结果可以看出,城镇污水处理厂中的AgNPs并未对活性污泥去除污染物的性能产生显著的抑制效应。

- [2] WALSER T, DEMOU E, LANG D J, et al. Prospective environmental life cycle assessment of nanosilver T-Shirts[J]. *Environmental Science & Technology*, 2011, 45(10): 4570-4578.
- [3] HENDREN C O, MESNARD X, DROEGE J, et al. Estimating production data for five engineered nanomaterials as a basis for exposure assessment[J]. *Environmental Science & Technology*, 2011, 45(7): 2562-2569.
- [4] MCGILLICUDDY E, MURRAY I, KAVANAGH S, et al. Silver nanoparticles in the environment: Sources, detection and ecotoxicology[J]. *Science of the Total Environment*, 2017, 575(1): 231-246.
- [5] LI L, STOIBER M, WIMMER A, et al. To what extent can full-scale wastewater treatment plant effluent influence the occurrence of silver-based nanoparticles in surface waters?[J]. *Environment Science & Technology*, 2016, 50(12): 6327-6333.
- [6] MIRALLES P, CHURCH T L, HARRIS A T. Toxicity, uptake, and translocation of engineered nanomaterials in vascular plants[J]. *Environmental Science & Technology*, 2012, 46(17): 9224-9239.
- [7] KLAINE S J, ALVAREZ P J J, BATLEY G E, et al. Nanomaterials in the environment: Behavior, fate, bioavailability, and effects[J]. *Environmental Toxicology and Chemistry*, 2008, 27(9): 1825-1851.
- [8] 贾俊彩, 王锋, 余济美. 斑马鱼在纳米金属及金属氧化物毒性研究中的应用[J]. *环境化学*, 2011, 30(1): 153-157.
- [9] BURCHARDT A D, CARVALHO R N, VALENCE A, et al. Effects of silver nanoparticles in diatom *thalassiosira pseudonana* and cyanobacterium *synechococcus* sp[J]. *Environmental Science & Technology*, 2012, 46(20): 11336-11344.
- [10] ZHENG Y, HOU L, MIN L, et al. Effects of silver nanoparticles on nitrification and associated nitrous oxide production in aquatic environments[J]. *Science Advances*, 2017, 3(8): e1603229.
- [11] 王瑤, 王瑜, 程昱, 等. 纳米银粒径与抗细菌性能的关系[J]. *中国皮革*, 2016, 45(5): 1-4.
- [12] 卢雪蓉, 冯晓丽, 刘朝莹, 等. 纳米银的迁移转化对环境微生物毒性的影响[J]. *生态毒理学报*, 2018, 13(5): 49-57.
- [13] HREIZ R, LATIFI M A, ROCHE N. Optimal design and operation of activated sludge processes: State-of-the-art[J]. *Chemical Engineering Journal*, 2015, 281(1): 900-920.
- [14] YANG Y, WANG J, XIU Z, et al. Impacts of silver nanoparticles on cellular and transcriptional activity of nitrogen-cycling bacteria[J]. *Environmental Toxicology & Chemistry*, 2013, 32(7): 1483-1494.
- [15] BENN T M, WESTERHOFF P. Nanoparticle silver released into water from commercially available sock fabrics[J]. *Environmental Science & Technology*, 2008, 42(11): 4133-4139.
- [16] LIANG Z, DAS A, HU Z. Bacterial response to a shock load of nanosilver in an activated sludge treatment system[J]. *Water Research*, 2010, 44(18): 5432-5438.
- [17] WIRTH S M, LOWRY G V, TILTON R D. Natural organic matter alters biofilm tolerance to silver nanoparticles and dissolved silver[J]. *Environmental Science & Technology*, 2012, 46(22): 12687-12696.
- [18] RADNIECKI T S, STANKUS D P, NEIGH A, et al. Influence of liberated silver from silver nanoparticles on nitrification inhibition of *Nitrosomonas europaea*[J]. *Chemosphere*, 2011, 85(1): 43-49.
- [19] HOQUE M E, KHOSRAVI K, NEWMAN K, et al. Detection and characterization of silver nanoparticles in aqueous matrices using asymmetric-flow field flow fractionation with inductively coupled plasma mass spectrometry[J]. *Journal of Chromatography A*, 2012, 1233(7): 109-115.
- [20] 孙秀玥. 纳米银和银离子对SBR污水处理系统污泥活性的影响[D]. 南京: 南京农业大学, 2019.

- [21] KVÍTEK L, PRUCEK R, PANÁČEK A, et al. The influence of complexing agent concentration on particle size in the process of SERS active silver colloid synthesis[J]. *Journal of Materials Chemistry*, 2005, 15(10): 1099-1105.
- [22] 庄爱娟. 纳米银溶胶的制备及其性能研究[D]. 青岛: 青岛科技大学, 2011.
- [23] 吴其圣, 杨琛, 胡秀敏, 等. 环境因素对纳米二氧化钛颗粒在水体中沉降性能的影响[J]. 环境科学学报, 2012, 32(7): 1596-1603.
- [24] MUKHERJEE B, WEAVER R W. Aggregation and charge behavior of metallic and nonmetallic nanoparticles in the presence of competing similarly-charged inorganic ions[J]. *Environmental Science & Technology*, 2010, 44(9): 3332-3338.
- [25] BAALOUSHA M. Effect of nanomaterial and media physicochemical properties on nanomaterial aggregation kinetics[J]. *Nanolmpact*, 2017, 6(1): 55-68.
- [26] ZHOU D, KELLER A A. Role of morphology in the aggregation kinetics of ZnO nanoparticles[J]. *Water Research*, 2010, 44(9): 2948-2956.
- [27] 魏攀. 纳米Al<sub>2</sub>O<sub>3</sub>水相悬浮液的分散性研究[D]. 西安: 西安建筑科技大学, 2010.
- [28] JEMEC A, KAHRU A, POTTHOFF A, et al. An interlaboratory comparison of nanosilver characterisation and hazard identification: Harmonising techniques for high quality data[J]. *Environment International*, 2016, 87(1): 20-32.
- [29] ALITO C L, GUNSCH C K. Assessing the effects of silver nanoparticles on biological nutrient removal in bench-scale activated sludge sequencing batch reactors[J]. *Environmental Science & Technology*, 2014, 48(2): 970-976.
- [30] 李墨青. 纳米银对SBR系统水处理效能及微生物菌群的影响研究[D]. 哈尔滨: 哈尔滨工业大学, 2014.
- [31] JEONG E, CHAE S R, KANG S T, et al. Effects of silver nanoparticles on biological nitrogen removal processes[J]. *Water Science & Technology*, 2012, 65(7): 1298-1308.
- [32] 张汝嘉. 纳米银对硝化细菌以及SBR反应器中的活性污泥的抑制作用的研究[D]. 哈尔滨: 哈尔滨工业大学, 2010.
- [33] 苑志华, 林晓锋, 周婷婷, 等. 纳米银对聚磷菌吸磷和释磷的影响及毒性效应[J]. 中国环境科学, 2018, 38(8): 192-198.
- [34] 周国凤, 汤京龙, 奚廷斐, 等. 纳米银诱导细胞凋亡的研究与进展[J]. 中国组织工程研究与临床康复, 2009, 13(42): 8314-8318.
- [35] YUAN Z, LI J, CUI L, et al. Interaction of silver nanoparticles with pure nitrifying bacteria[J]. *Chemosphere*, 2013, 90(4): 1404-1411.
- [36] CHOI O, CLEVENGER T E, DENG B, et al. Role of sulfide and ligand strength in controlling nanosilver toxicity[J]. *Water Research*, 2009, 43(7): 1879-1886.
- [37] LEVARD C, HOTZE E M, COLMAN B P, et al. Sulfidation of silver nanoparticles: Natural antidote to their toxicity[J]. *Environmental Science & Technology*, 2013, 47(23): 13440-13448.
- [38] JOHNSON A C, JUERGENS M D, LAWLOR A J, et al. Particulate and colloidal silver in sewage effluent and sludge discharged from British wastewater treatment plants[J]. *Chemosphere*, 2014, 112(1): 49-55.
- [39] 施丽婷, 张雯雯, 杨新萍. 纳米银对污水生物处理系统的影响[J]. 生态学杂志, 2020, 39(9): 300-308.

(责任编辑: 曲娜)

## Effects of silver nanoparticle and silver ions on pollutants removal efficiency of activated sludge system

DUAN Ying, SUN Xiuyue, SHENG Tao, JIA Yi, JIN Qiuchi, YANG Xinping\*

College of Resources and Environmental Sciences, Nanjing Agricultural University, Nanjing 210095, China

\*Corresponding author, E-mail: xpyang@njau.edu.cn

**Abstract** The toxicity of silver nanoparticle (AgNPs) and the silver ions released from AgNPs have inhibitory effects on the microorganisms in wastewater treatment plant (WWTP) and reduce the pollutants removal efficiency of activated sludge system. The morphology, particle size distribution and surface charge of polyvinyl pyrrolidone-coated AgNPs dispersed in pure water and artificial wastewater were characterized, respectively. AgNPs significantly agglomerated in artificial wastewater. The result showed that the higher concentration of AgNPs, the easier agglomeration. The sequencing batch reactor (SBR) was used as a simulated activated sludge system and run for 50 days. The effects of  $1 \text{ mg}\cdot\text{L}^{-1}$  and  $10 \text{ mg}\cdot\text{L}^{-1}$  AgNPs,  $0.3 \text{ mg}\cdot\text{L}^{-1}$  and  $3.0 \text{ mg}\cdot\text{L}^{-1}$   $\text{Ag}^+$  added in influent on pollutants removal efficiencies of activated sludge system were investigated, respectively.  $10 \text{ mg}\cdot\text{L}^{-1}$  AgNPs could significantly reduce the removal efficiencies of COD,  $\text{NH}_4^+$ -N and  $\text{PO}_4^{3-}$  in SBR. The inhibition effect was mainly induced by AgNPs, while was not induced by the released silver ions from AgNPs.  $1 \text{ mg}\cdot\text{L}^{-1}$  AgNPs or  $0.3 \text{ mg}\cdot\text{L}^{-1}$ ,  $3.0 \text{ mg}\cdot\text{L}^{-1}$   $\text{Ag}^+$  had inhibitory effect on the COD removal of activated sludge system. However, the COD removal rate was above 60% and meet the first level A class criteria specified in the discharge standard of pollutants for municipal wastewater treatment plant (GB 18918-2002).  $1 \text{ mg}\cdot\text{L}^{-1}$  AgNPs had significant inhibitory effect on the  $\text{PO}_4^{3-}$  removal efficiencies of activated sludge system.  $1 \text{ mg}\cdot\text{L}^{-1}$  AgNPs,  $10 \text{ mg}\cdot\text{L}^{-1}$  AgNPs,  $0.3 \text{ mg}\cdot\text{L}^{-1}$   $\text{Ag}^+$  or  $3.0 \text{ mg}\cdot\text{L}^{-1}$   $\text{Ag}^+$  fed into SBR had no effects on  $\text{NO}_2^-$ -N and  $\text{NO}_3^-$ -N removal efficiencies. At present, AgNPs concentration in WWTP is far lower than  $1 \text{ mg}\cdot\text{L}^{-1}$ . This study demonstrated that AgNPs released into sewage had no significant effects on pollutants removal efficiency of activated sludge system.

**Keywords** silver nanoparticles; silver ions; activated sludge; sequencing batch reactor; pollutants removal